

单板计算机控制直流电动机可逆调速系统

赵殿甲 王顺晃 席爱民

(北京钢铁学院) (西安冶金建筑学院)

摘要

本文叙述了单板计算机控制的直流电动机可逆调速系统。本系统用计算机软件代替原模拟系统中的 PI 调节器、逻辑切换装置及其它模拟硬件,使可控硅触发器的输出数字化,从而实现了全数字化控制。本系统不仅节省大量硬件,且调整方便,运行可靠性大为提高。

近年来,随着计算机技术的飞跃发展,计算机的应用已深入到各个领域。尤其是廉价的单板计算机的问世,给工业部门用计算机控制开辟了广阔的前景。本文仅对用单板计算机控制的直流电动机调速系统作一简单介绍。

一、数字调节器的设计及 DDC 系统的组成

目前 DDC 系统中数字调节器的设计常用三种方法^[1]。本文用连续系统的设计方法,例如用二阶或三阶最佳化的方法设计出连续系统调节器的传递函数,然后离散化得到计算机控制用的差分方程。电流调节器 (LT) 和速度调节器 (ST) 一般采用比例积分调节器,为了改善系统动态品质,在速度环还引入并联微分负反馈。笔者用频率法确定电流调节器的参数,用线性二次型性能指标最优来确定速度调节器的参数。

1. 比例积分调节器的差分方程

比例积分调节器微分方程表达式为

$$y(t) = K'_1 u(t) + K'_2 \int u(t) d(t). \quad (1)$$

式中 $y(t)$ 为调节器输出量; $u(t)$ 为调节器输入量,它的拉氏变换为

$$\frac{Y(s)}{U(s)} = K'_1 + \frac{K'_2}{s}. \quad (2)$$

令(1)式中 $t = nT$, $dt = T$, T 为采样周期,则有

$$\begin{aligned} y(nT) &= K'_1 u(nT) + K'_2 T \sum_{k=0}^{n-1} u(kT) \\ &= K'_1 u(nT) - K'_2 T u(nT) + K'_2 T u(nT) + K'_2 T \sum_{k=0}^{n-1} u(kT) \end{aligned}$$

$$\begin{aligned}
 &= (K'_1 - K'_2 T) u(nT) + K'_2 T \sum_{k=0}^n u(kT) \\
 &= K_1 u(nT) + K_2 \sum_{k=0}^n u(kT).
 \end{aligned} \tag{3}$$

式中 $K_1 = K'_1 - K'_2 T$, $K_2 = K'_2 T$. (3)式可简写如下:

$$y_n = K_1 u_n + K_2 \sum_{k=0}^n u_k. \tag{4}$$

式(4)即为 PI 调节器的差分方程形式。式(4)也可以写成如下形式:

$$y_n = y_{n-1} + K'_1 u_n + K''_2 u_{n-1}. \tag{5}$$

其中 $K''_2 = K'_2 T - K'^{[1]}$.

2. 比例微分反馈的差分方程

比例微分反馈传递函数为

$$\frac{Y(s)}{u(s)} = 1 + K'_3 s. \tag{6}$$

其微分方程为

$$y(t) = u(t) + K'_3 \frac{du(t)}{dt}. \tag{7}$$

令 $t = nT$, $dt = T$, T 为采样周期, 则

$$du(t) = u(nT) - u[(n-1)T].$$

由此可导出

$$y_n = u_n + K_3 [u_n - u_{n-1}]. \tag{8}$$

式中 $K_3 = K'_3 / T$.

在实验中用 Z-80 单板微型机由 A/D 转换板输入给定的阶跃信号, 经 PI 运算再由 D/A 转换板输出模拟量, 其波形如图 1 所示。

图 1 零线以上部分为调节器输出达到饱和时的输出波形。用 CTC 部件作为实时时钟, 提供中断源, 进行定时采样, 其采样周期电流环为 1ms, 速度环为 3.3ms, 四象限逻辑切换周期为 3.3ms^[2]。电流反馈及零电流信号是由交流互感器取出经整流滤波后送入 A/D 转换板; 速度反馈由测速发电机 (CF) 取出信号也送到 A/D 转换板; 速度给定直

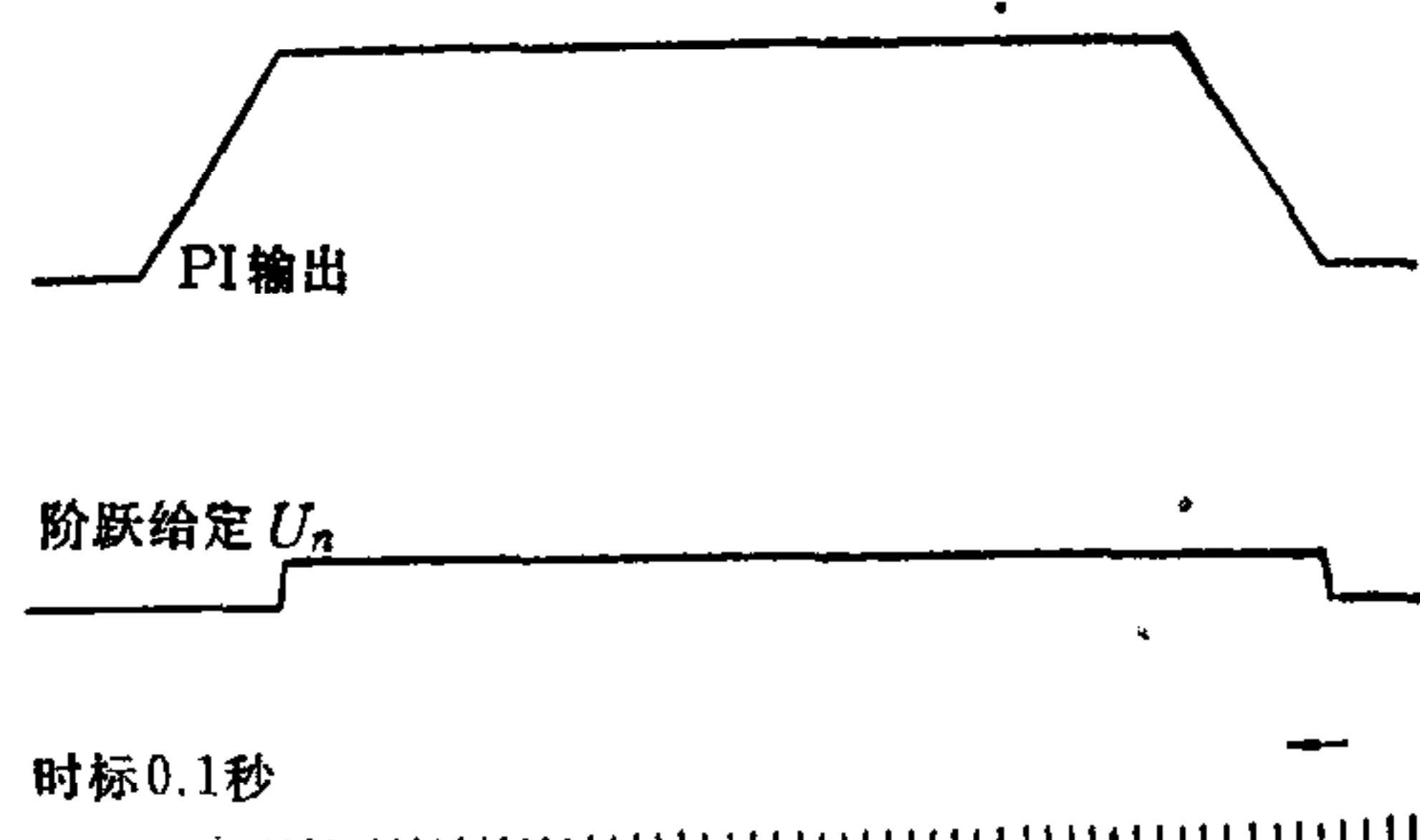


图 1 PI 调节器的输入输出波形

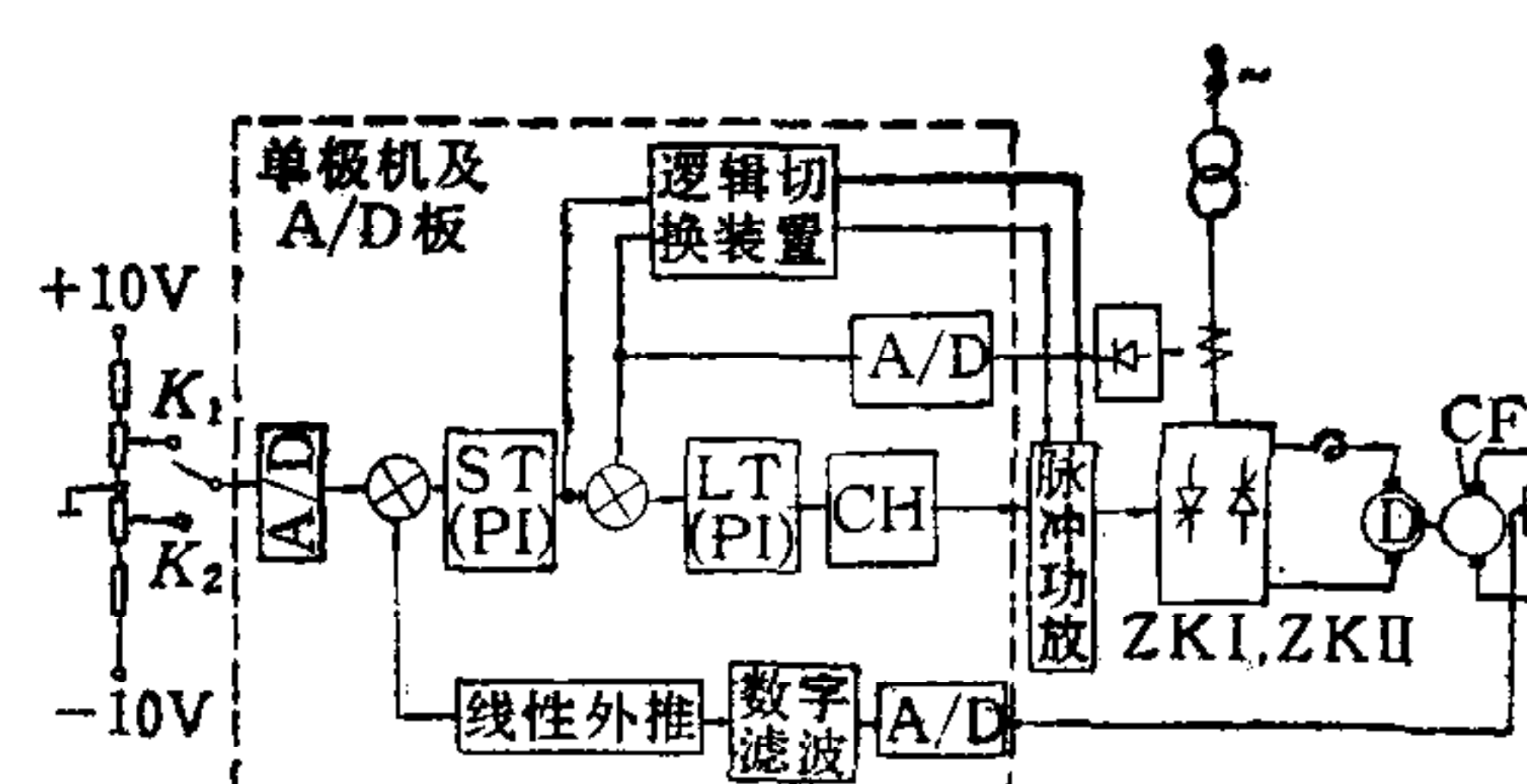


图 2 单板计算机控制直流电动机可逆调速系统框图

接送入 A/D 转换板。这些信号经 A/D 转换送入单板机进行算术运算和逻辑运算后，系统中逻辑切换装置输出信号经 PIO 口送到脉冲功率放大器，以控制电动机的正反转。数字触发器（CH）通过 PIO 口输出触发脉冲，经功率放大后直接控制可控硅的导通和截止。

速度反馈部分未加滤波网络，采用了数字滤波，以达到抗快随机起伏和慢随机起伏的目的^[3]。同时，因为速度调节器部分采样周期较长，而速度变化又较慢，所以在反馈回路中增加了线性外推器（外推一步）。

可控硅供电接成三相桥式反并联形式。图 2 为 DDC 调速系统的框图。

二、实验结果和各种波形分析

由于采用了数字触发器，因此在从低压到高压调整过程中，整流输出电压的波形始终保持整齐的整流输出波形。图 3 为整流装置输出的整流波形。



图 3 整流装置输出整流波形

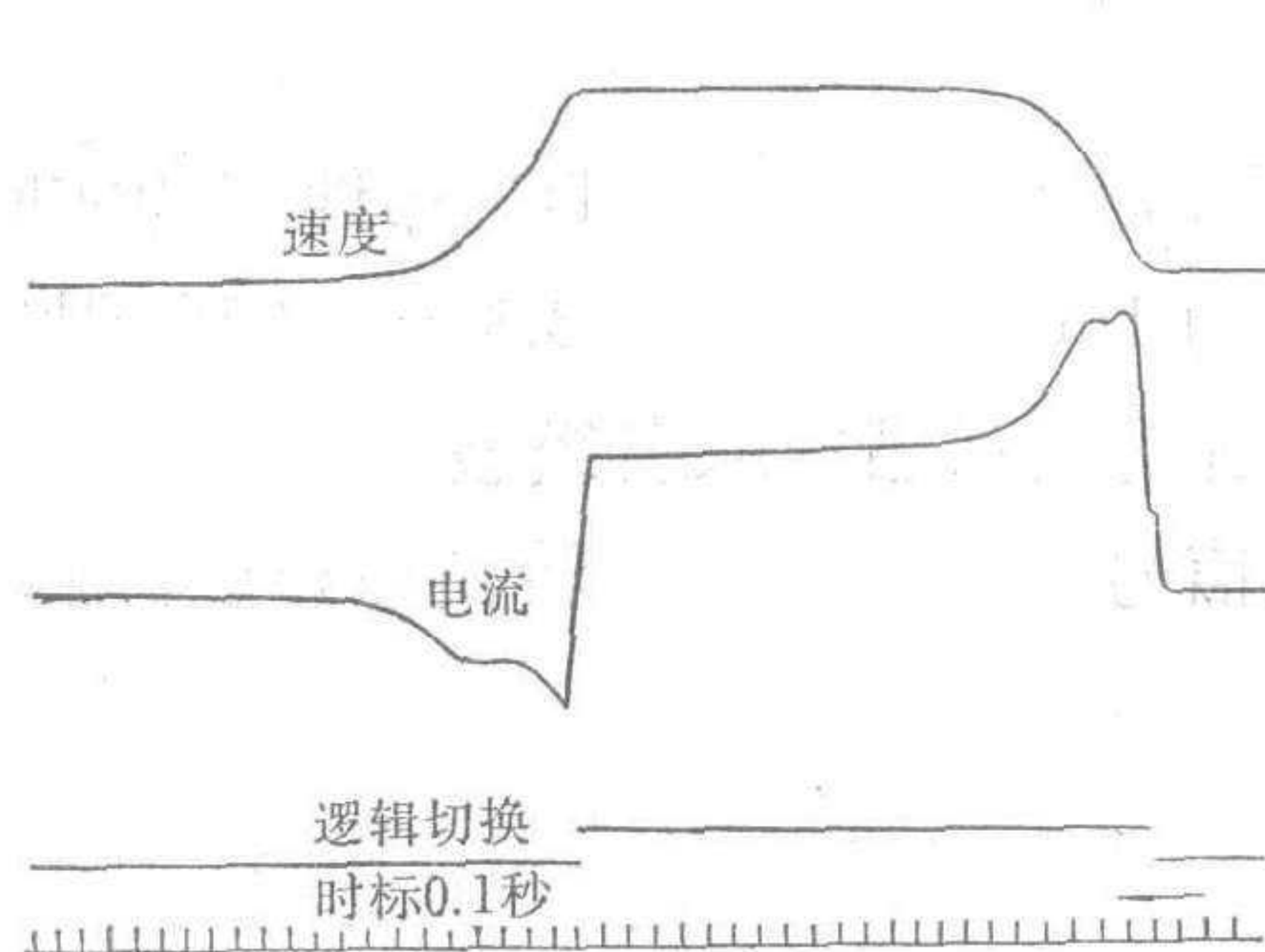


图 4 电动机可逆切换过程的速度和电流波形

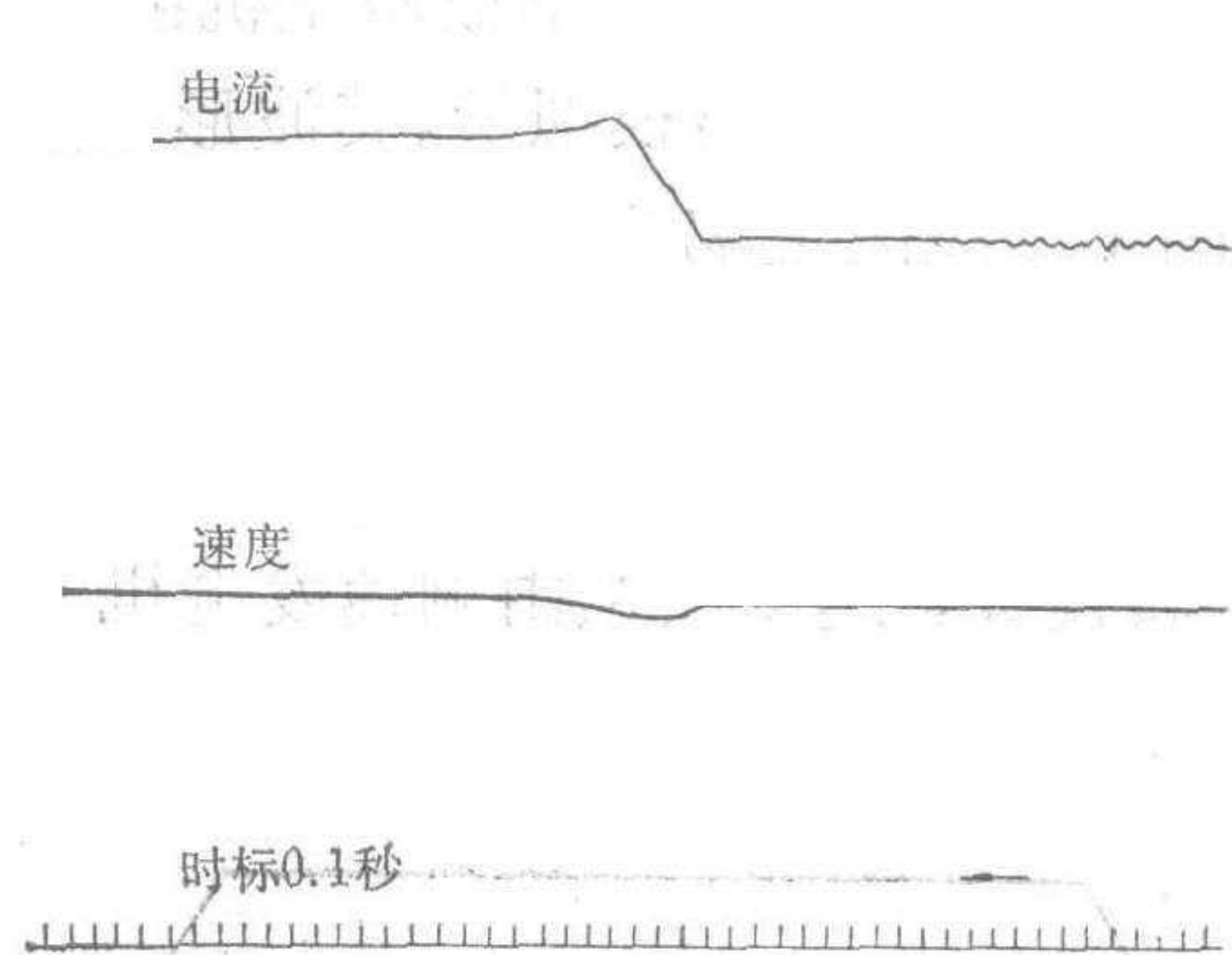


图 5 突加负载时，电动机转速波形图

电动机可逆切换时的速度和电流波形如图 4 所示。

当电动机突加负载时，电动机转速波形如图 5 所示。

通过本系统的全面实验，证明用单板计算机的软件代替大量模拟硬件，这种 DDC 控制方案是完全可行的，且系统简单可靠，通用性强。系统的控制性能是令人满意的。尤其在系统调整时，参数整定十分方便。数字触发器在本系统中的应用，使整个装置大大简

化,六相触发脉冲准确可靠,可有效地保护可控硅。由此可见 DDC 直流可逆调速系统不仅静态品质指标比模拟系统有所改善,而且随着单板机价格的降低,设备投资将会不断下降,将逐步在传动领域中推广和应用。

参 考 文 献

- [1] 赵殿甲、王顺晃等,用微型计算机控制直流电动机可逆调速系统,北京钢铁学院学报,2(1982年),76—82.
- [2] 陆政道等,自动控制原理及设计,上海科学技术出版社,1978年,304—313.
- [3] IEEE—IAS 13th Annu. Meet, Toronto 1978 Conf. Rec, New York, 1978, 669—675.

APPLICATION OF A SINGLE BOARD COMPUTER TO THE SPEED CONTROL SYSTEM OF A DC MOTOR

ZHAO DIANJI WANG SHUNHUANG

(Beijing University of Iron and Steel)

XI AIMING

(Xian Institute of Build and Metallurgy)

ABSTRACT

In this article, the basic research concerning the speed control system of a DC motor by a single board computer is dealt with. In this system analogue hardware such as PI regulators, logic circuits etc. in a double-closed circuits SCR-D system are fully substituted by the computer software. The triggers of the thyristors are also digitized by the computer software. Thus a fully digitized control system with the advantages of less hardware components, easy to adjust and higher reliability is obtained.